

Виявлення об'єктів у зображеннях за допомогою JETSON TX2

Виконав: студент гр. 1AKIT-17м

Тавдарханов Руслан Резванович

Науковий керівник: к.т.н., доцент кафедри АІТ

Маслій Роман Васильович

Актуальність роботи

- ⦿ Виявлення об'єктів у зображеннях є однією з важливих задач в системах технічного зору. Область застосування – це виробництва, в яких задіяні системи технічного зору, робототехнічні комплекси, веб-сервіси, які здійснюють аналіз та пошук зображень, мобільні застосування для ідентифікації та пошуку, системи відео спостереження. Виявлення об'єктів є однією з перших задач в системах розпізнавання об'єктів, в яких об'єкт спочатку потрібно локалізувати на зображенні а потім його ідентифікувати.

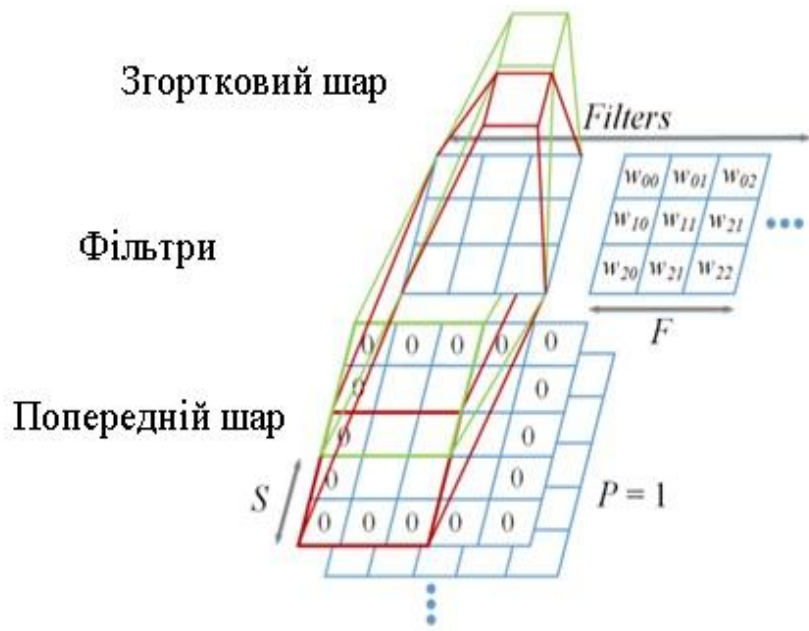
Наукова новизна, об'єкт та предмет дослідження

- ▀ **Наукова новизна одержаних результатів.** Удосконалено метод виявлення об'єктів у зображеннях, що використовує нейромережеву модель DetectNet, шляхом створення власної caffe моделі, що дозволило підвищити вірогідність виявлення.
- ▀ **Об'єкт дослідження** - процеси глибокого навчання нейронних мереж та виявлення об'єктів у зображеннях.
- ▀ **Предмет дослідження** - методи виявлення об'єктів у зображеннях, основані на нейромережевому підході.

Мета та задачі дослідження

- υ **Мета та задачі дослідження.** Метою роботи є підвищення якості виявлення об'єктів у зображеннях при використанні методів глибокого навчання, засобу глибокого навчання NVIDIA DIGITS та суперкомп'ютера Jetson TX2.
- υ Для досягнення поставленої мети потрібно вирішити такі задачі:
 - υ проаналізувати існуючі методи виявлення об'єктів у зображеннях;
 - υ дослідити роботу алгоритмів виявлення, основаних на нейромережевому підході;
 - υ визначити недоліки існуючих методів та знайти шляхи підвищення швидкодії та покращення вірогідності виявлення об'єктів у зображеннях;
 - υ реалізувати програмно модифікований алгоритм та порівняти результати.

Згортковий шар



Згортковий шар нейронної мережі є одним з основних і призначений для виділення ознак зображення і їх перетворення, які, в свою чергу, в подальшому на більш глибоких шарах, використовуються для отримання більш складних ознак і, в кінцевому підсумку, визначають клас об'єкта, що розпізнається. Основною характеристикою даного шару є так звані фільтри - багатовимірні (зазвичай двомірні або тривимірні) матриці ваг зв'язку нейронів попереднього шару з нейронами Згорткового шару. Фільтрами вони називаються тому, що операція згортки, тобто отримання виходного сигналу нейрона згорткового шару, дуже схожа на операцію фільтрації зображення.

Нейромережа DetectNet

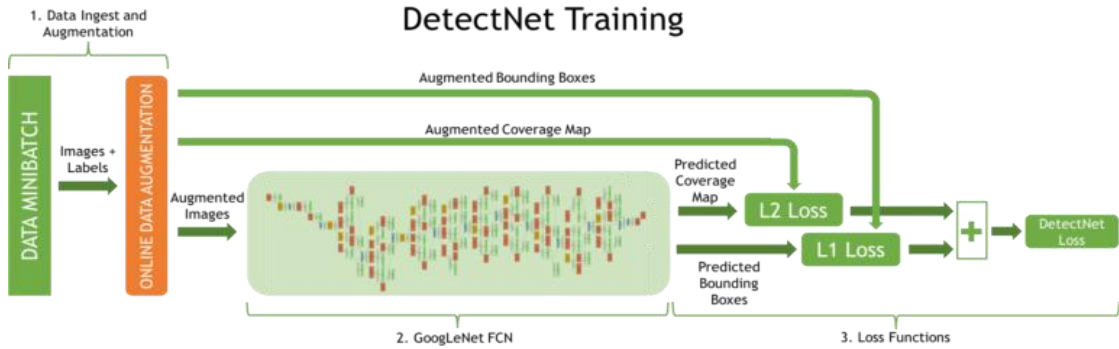


Рисунок 6.1 – Структура мережі DetectNet для навчання

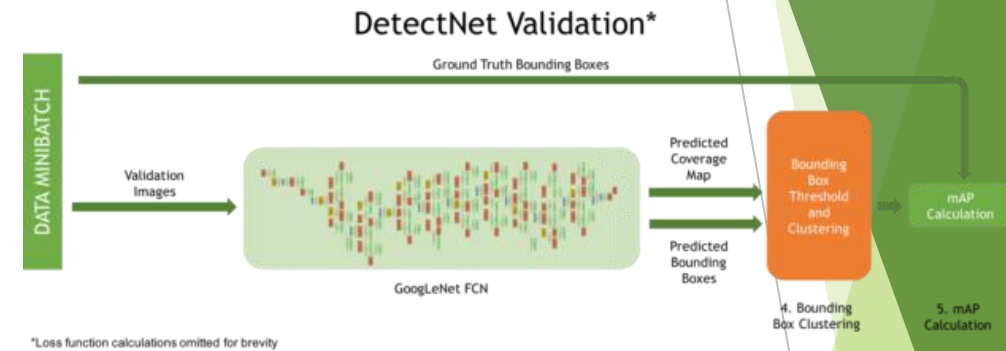
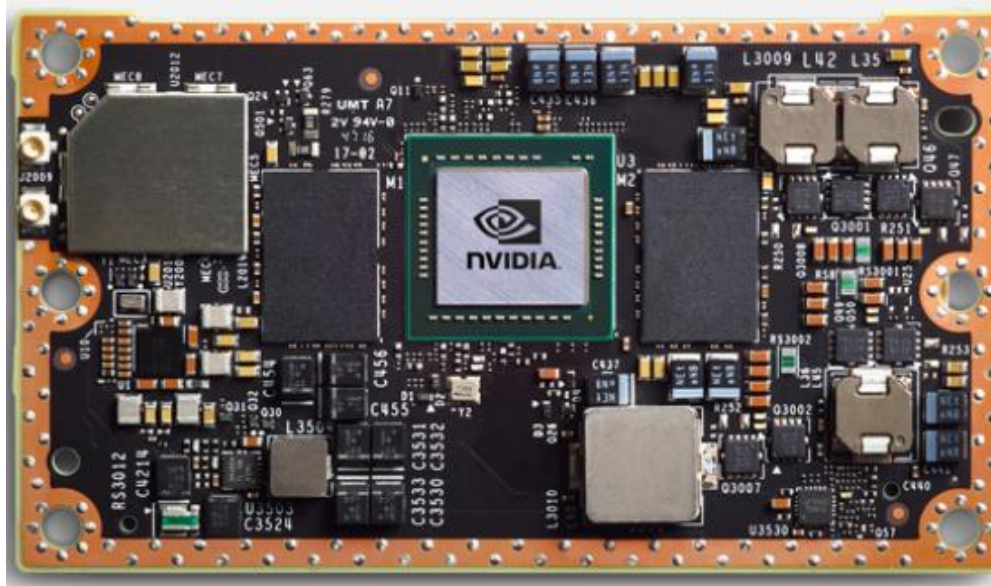


Рисунок 6.2 – Структура мережі DetectNet для перевірки ефективності моделі на тестових даних

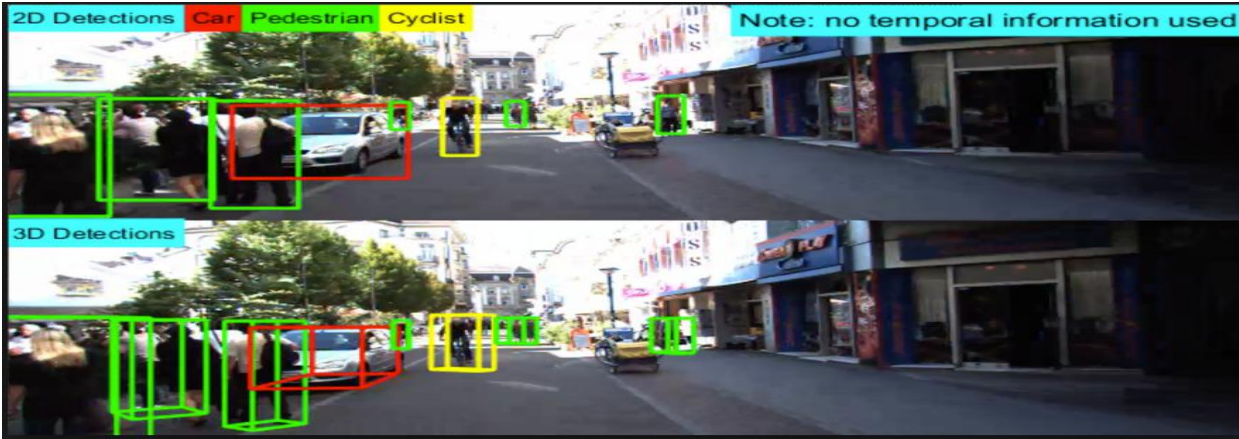
- DetectNet — це нейромережева архітектура, яка є розширенням популярної нейромережі GoogleNet, що одночасно здійснює виявлення та класифікацію об'єктів.

Огляд особливостей Jetson TX2



- Jetson TX2 є одним з найшвидших, найефективніших вбудованих обчислювальних пристрійв штучного інтелекту. Цей 7,5-ватний суперкомп'ютер розміщується на одній платі. Він побудований на сімействі процесорів GPU NVIDIA Pascal і завантажується з 8 Гб оперативної пам'яті і 59,7 Гб/с пропускної здатності пам'яті. Він має різноманітні стандартні апаратні інтерфейси, які дозволяють легко інтегрувати його в широкий спектр продуктів і форм-факторів .

Багатопрофільна база зображень «Kitti»



- v Kitti – багатопрофільна база зображень для систем автономного водіння. Використовується для одометрії, оптичного потоку, задач виявлення та відстеження 2D та 3D об'єктів.
 - v Основні характеристики наборів для виявлення об'єктів:
 - v 7481 тренувальних зображень та 7518 тестових зображень;
 - v 80 тисяч об'єктів у зображеннях;
 - v 3 категорії об'єктів (автомобілі, мотоцикли, пішоходи)
 - v займає 12 Гігабайт

Результати досліджень

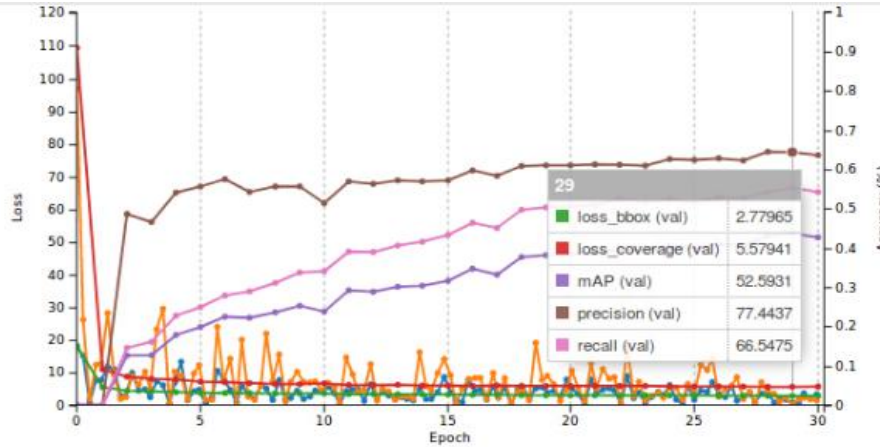


Рисунок 9.1 – Результати тестування моделі Kitti-4

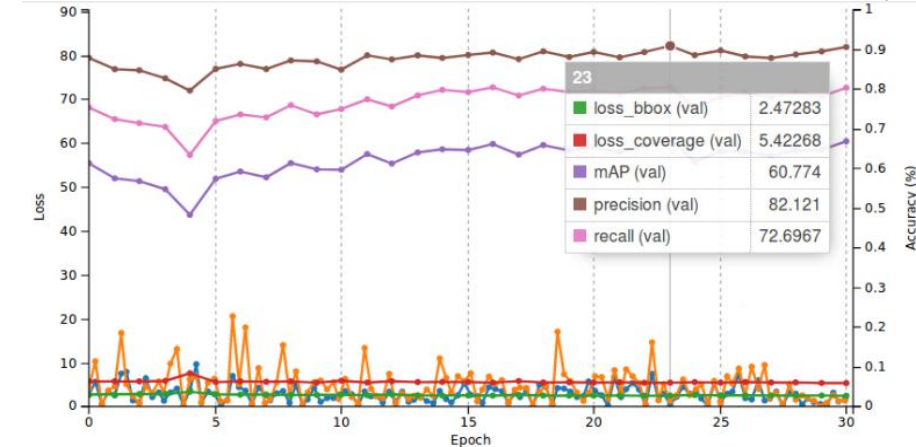


Рисунок 9.2 – Результати тестування моделі Kitti-7

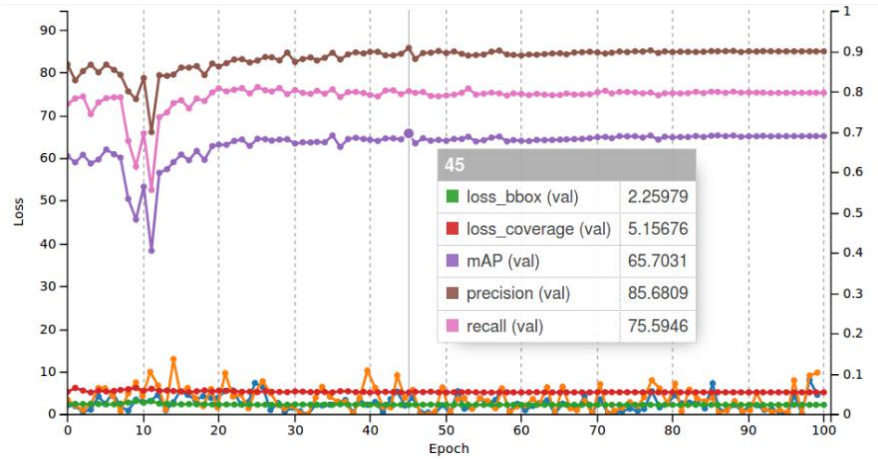


Рисунок 9.3 – Результати тестування моделі Kitti-9

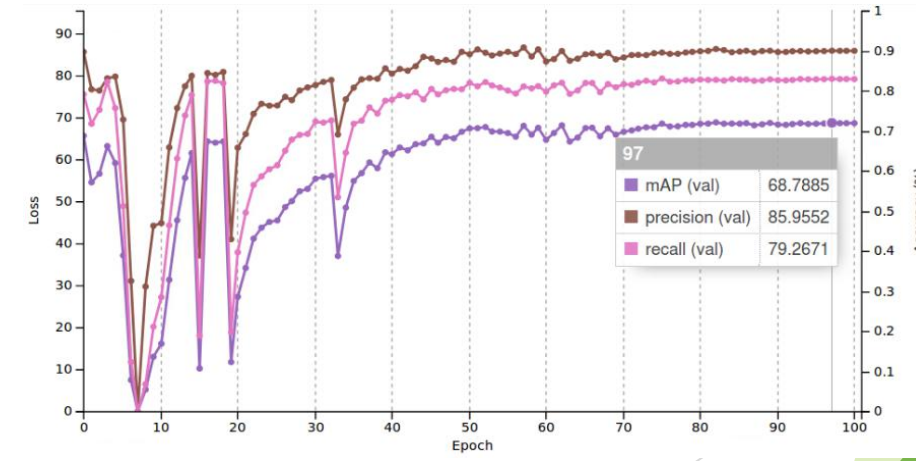
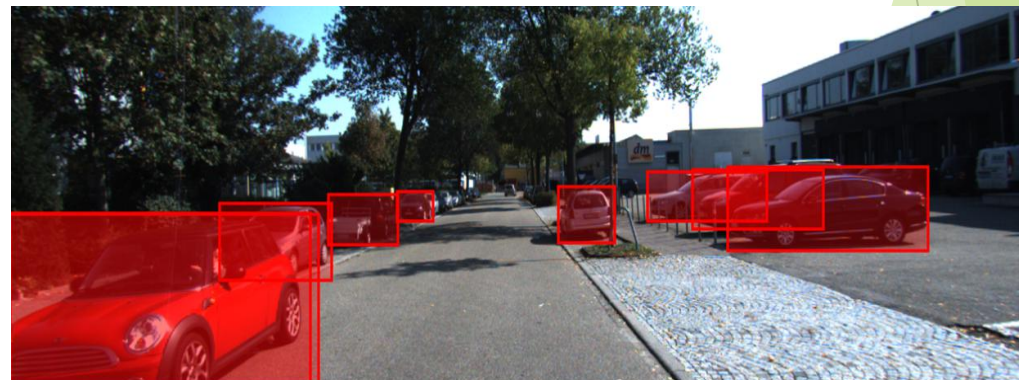
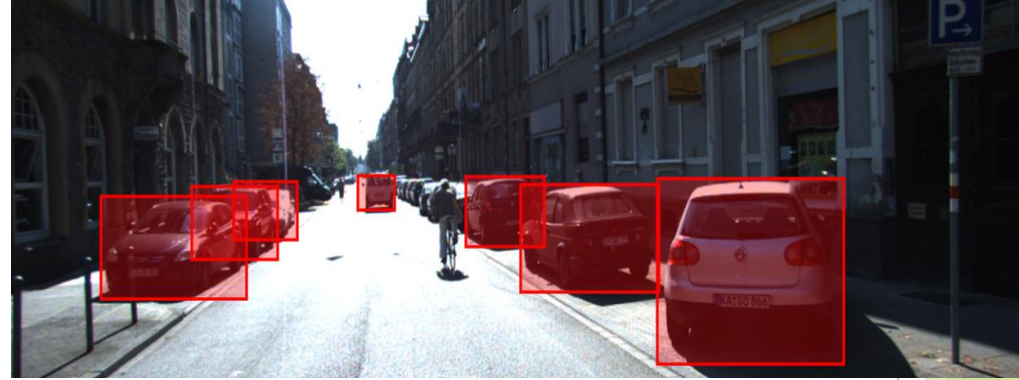
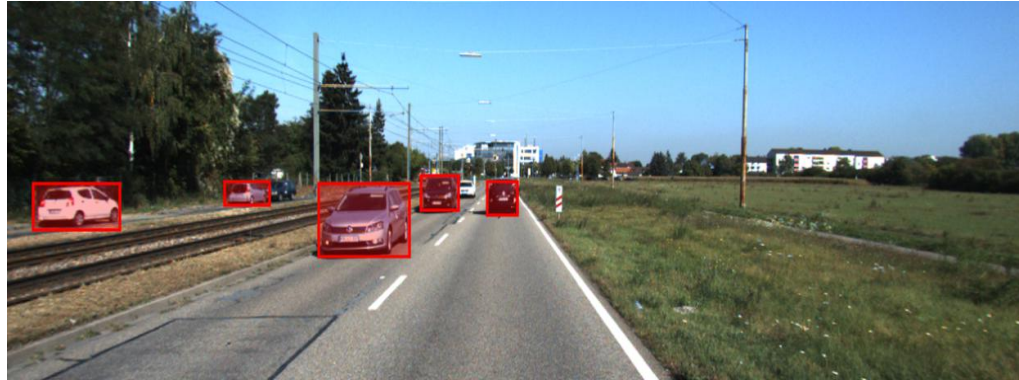


Рисунок 9.4 – Результати тестування моделі Kitti-10

Результати досліджень

| Назва моделі | Кількість епох / найкраща епоха | Функція зміни швидкості навчання | Швидкість навчання | Наперед тренована модель | mAP |
|--------------|---------------------------------|----------------------------------|--------------------|--------------------------|-------|
| Kitti-1 | 30/16 | Exponential decay | 0.0001 | GoogleNet | 37.79 |
| Kitti-2 | 30/22 | Exponential decay | 0.000075 | GoogleNet | 57.80 |
| Kitti-3 | 30/30 | Exponential decay | 0.00005 | GoogleNet | 55.41 |
| Kitti-4 | 30/30 | Exponential decay | 0.00025 | GoogleNet | 52.59 |
| Kitti-5 | 100/94 | Exponential decay | 0.00001 | GoogleNet | 50.23 |
| Kitti-6 | 100/22 | Exponential decay | 0.000075 | GoogleNet | 57.8 |
| Kitti-7 | 30/23 | Exponential decay | 0.000025 | Kitti-3 | 60.77 |
| Kitti-8 | 100/97 | Exponential decay | 0.00001 | Kitti-7 | 63.22 |
| Kitti-9 | 100/45 | Polynomial decay | 0.00005 | Kitti-7 | 65.7 |
| Kitti-10 | 100/97 | Polynomial decay | 0.000025 | Kitti-9 | 68.78 |

Приклади виявлення автомобілів



Висновки

- В цілому в дослідженнях було сформовано 10 наборів параметрів і навчено 10 моделей. Частина цих моделей використовувало у якості наперед натренованої моделі – GoogleNet. Інші моделі навчалися на власних моделях. Найкраща модель показала значення mAP=68.78 на тестовому наборі KITTI.